

Starkniederschlagshöhen und -spenden gemäß KOSTRA-DWD-2010R

Auswertungszeitraum von 1951 - 2010, Januar - Dezember

Rasterfeld: 95061

Zeile: 95

Spalte: 61

Seite: 1/2

| Dauerstufe D | | Wiederkehrzeit T | | | | | | | | | | | | | | | | | |
|--------------|-----|------------------|------------|------|------------|-------|------------|-------|------------|-------|------------|-------|------------|-------|------------|-------|------------|-------|------------|
| | | 1 a | | 2 a | | 3 a | | 5 a | | 10 a | | 20 a | | 30 a | | 50 a | | 100 a | |
| min | Std | mm | l / (s ha) | mm | l / (s ha) | mm | l / (s ha) | mm | l / (s ha) | mm | l / (s ha) | mm | l / (s ha) | mm | l / (s ha) | mm | l / (s ha) | mm | l / (s ha) |
| 5 | | 6,8 | 226,7 | 9,6 | 320,0 | 11,3 | 376,7 | 13,4 | 446,7 | 16,2 | 540,0 | 19,0 | 633,3 | 20,6 | 686,7 | 22,7 | 756,7 | 25,5 | 850,0 |
| 10 | | 11,0 | 183,3 | 14,4 | 240,0 | 16,4 | 273,3 | 18,9 | 315,0 | 22,4 | 373,3 | 25,8 | 430,0 | 27,8 | 463,3 | 30,3 | 505,0 | 33,7 | 561,7 |
| 15 | | 13,8 | 153,3 | 17,6 | 195,6 | 19,9 | 221,1 | 22,7 | 252,2 | 26,6 | 295,6 | 30,4 | 337,8 | 32,6 | 362,2 | 35,5 | 394,4 | 39,3 | 436,7 |
| 20 | | 15,8 | 131,7 | 20,0 | 166,7 | 22,4 | 186,7 | 25,5 | 212,5 | 29,7 | 247,5 | 33,8 | 281,7 | 36,3 | 302,5 | 39,3 | 327,5 | 43,5 | 362,5 |
| 30 | | 18,5 | 102,8 | 23,2 | 128,9 | 25,9 | 143,9 | 29,4 | 163,3 | 34,0 | 188,9 | 38,7 | 215,0 | 41,5 | 230,6 | 44,9 | 249,4 | 49,6 | 275,6 |
| 45 | | 20,9 | 77,4 | 26,1 | 96,7 | 29,2 | 108,1 | 33,1 | 122,6 | 38,3 | 141,9 | 43,6 | 161,5 | 46,7 | 173,0 | 50,5 | 187,0 | 55,8 | 206,7 |
| 60 | | 22,3 | 61,9 | 28,0 | 77,8 | 31,3 | 86,9 | 35,5 | 98,6 | 41,3 | 114,7 | 47,0 | 130,6 | 50,3 | 139,7 | 54,5 | 151,4 | 60,2 | 167,2 |
| 90 | | 24,7 | 45,7 | 30,9 | 57,2 | 34,6 | 64,1 | 39,2 | 72,6 | 45,4 | 84,1 | 51,7 | 95,7 | 55,3 | 102,4 | 60,0 | 111,1 | 66,2 | 122,6 |
| 120 | 2 | 26,5 | 36,8 | 33,2 | 46,1 | 37,1 | 51,5 | 42,0 | 58,3 | 48,7 | 67,6 | 55,3 | 76,8 | 59,2 | 82,2 | 64,2 | 89,2 | 70,8 | 98,3 |
| 180 | 3 | 29,3 | 27,1 | 36,6 | 33,9 | 40,9 | 37,9 | 46,3 | 42,9 | 53,6 | 49,6 | 60,9 | 56,4 | 65,2 | 60,4 | 70,6 | 65,4 | 77,9 | 72,1 |
| 240 | 4 | 31,5 | 21,9 | 39,3 | 27,3 | 43,8 | 30,4 | 49,6 | 34,4 | 57,4 | 39,9 | 65,2 | 45,3 | 69,8 | 48,5 | 75,5 | 52,4 | 83,4 | 57,9 |
| 360 | 6 | 34,8 | 16,1 | 43,4 | 20,1 | 48,4 | 22,4 | 54,7 | 25,3 | 63,2 | 29,3 | 71,8 | 33,2 | 76,8 | 35,6 | 83,1 | 38,5 | 91,7 | 42,5 |
| 540 | 9 | 38,5 | 11,9 | 47,9 | 14,8 | 53,4 | 16,5 | 60,3 | 18,6 | 69,7 | 21,5 | 79,1 | 24,4 | 84,5 | 26,1 | 91,5 | 28,2 | 100,9 | 31,1 |
| 720 | 12 | 41,3 | 9,6 | 51,4 | 11,9 | 57,2 | 13,2 | 64,6 | 15,0 | 74,6 | 17,3 | 84,6 | 19,6 | 90,5 | 20,9 | 97,9 | 22,7 | 107,9 | 25,0 |
| 1080 | 18 | 45,7 | 7,1 | 56,7 | 8,8 | 63,1 | 9,7 | 71,2 | 11,0 | 82,2 | 12,7 | 93,2 | 14,4 | 99,6 | 15,4 | 107,7 | 16,6 | 118,7 | 18,3 |
| 1440 | 24 | 49,1 | 5,7 | 60,8 | 7,0 | 67,7 | 7,8 | 76,3 | 8,8 | 88,0 | 10,2 | 99,8 | 11,6 | 106,6 | 12,3 | 115,3 | 13,3 | 127,0 | 14,7 |
| 2880 | 48 | 66,1 | 3,8 | 81,1 | 4,7 | 89,8 | 5,2 | 100,8 | 5,8 | 115,8 | 6,7 | 130,8 | 7,6 | 139,5 | 8,1 | 150,5 | 8,7 | 165,5 | 9,6 |
| 4320 | 72 | 78,7 | 3,0 | 95,5 | 3,7 | 105,4 | 4,1 | 117,8 | 4,5 | 134,6 | 5,2 | 151,5 | 5,8 | 161,3 | 6,2 | 173,8 | 6,7 | 190,6 | 7,4 |

Angaben in mm: Bemessungsniederschlagswerte h(n)

Angaben in l / (s ha): Regenspende R(n) mit $R(n) = h(n) \times 1,666667 / D[\text{min}]$

Toleranzbereiche:

+/- 10 % für $1 a \leq T \leq 5 a$

+/- 15 % für $5 a < T \leq 50 a$

+/- 20 % für $50 a < T \leq 100 a$

Datenbasis: KOSTRA-DWD-2010R des Deutschen Wetterdienstes. Die Regenspende wurde auf Basis des Bemessungsniederschlags zur jeweiligen Andauer berechnet.

Für die Richtigkeit und Aktualität der Angaben wird keine Gewähr übernommen. Erstellt 07/2022.

Starkniederschlagshöhen und -spenden gemäß KOSTRA-DWD-2010R

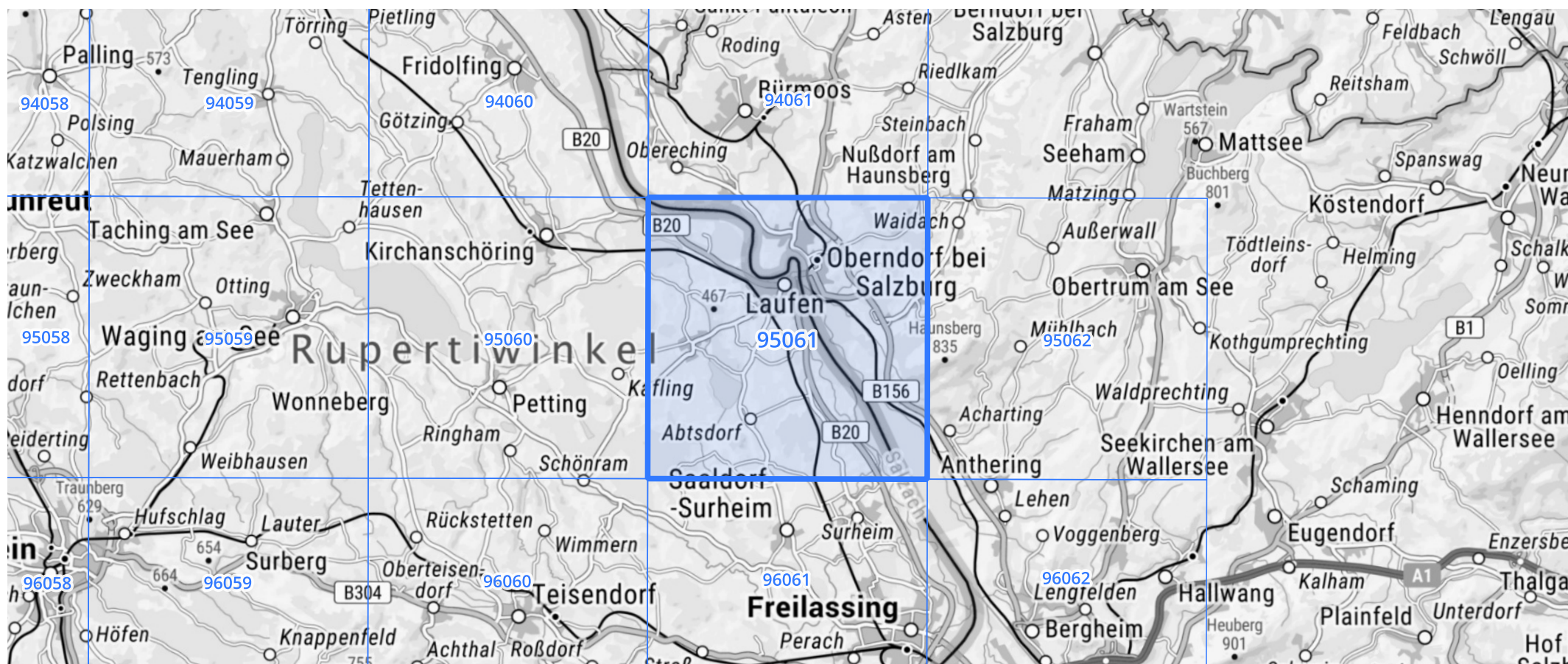
Auswertungszeitraum von 1951 - 2010, Januar - Dezember

Rasterfeld: 95061

Zeile: 95

Spalte: 61

Seite: 2/2



Quelle Rasterdaten: KOSTRA-DWD-2010R des Deutschen Wetterdienstes.

Kartendarstellung: © Bundesamt für Kartographie und Geodäsie (2022), Datenquellen: https://sgx.geodatenzentrum.de/web_public/gdz/datenquellen/Datenquellen_TopPlusOpen.html

Für die Richtigkeit und Aktualität der Angaben wird keine Gewähr übernommen. Erstellt 07/2022.